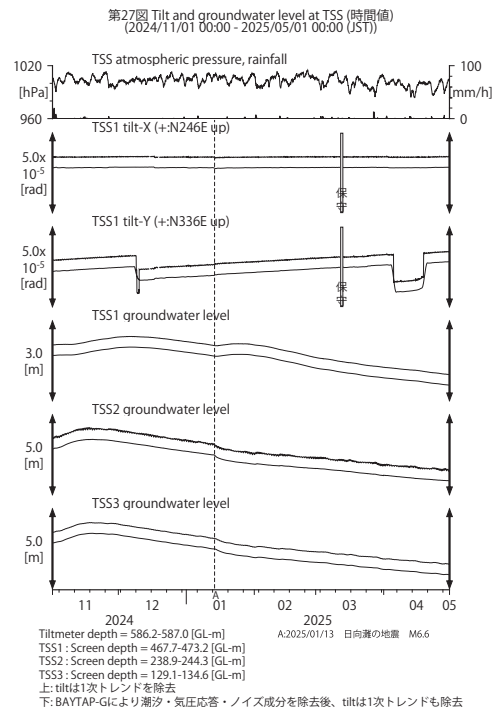


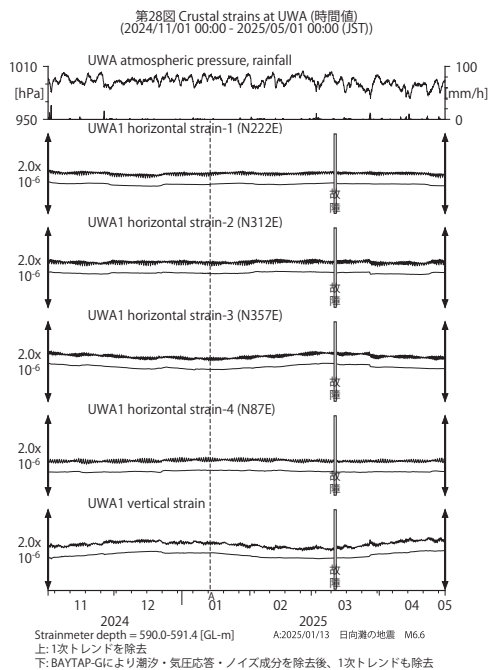
第 26 図 TSS における歪観測結果 (2024 年 11 月～2025 年 4 月)

Fig. 26 Observed strains at the TSS observation site from November 2024 to April 2025.



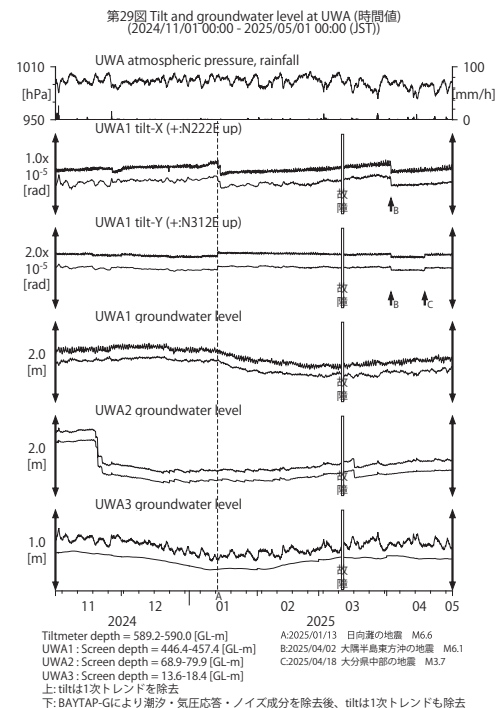
第 27 図 TSS における傾斜・地下水位観測結果 (2024 年 11 月～2025 年 4 月)

Fig. 27 Observed tilts and groundwater levels at the TSS observation site from November 2024 to April 2025.



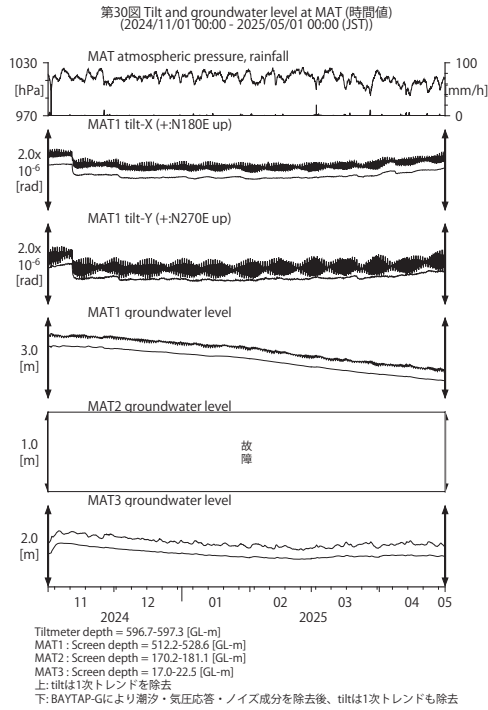
第 28 図 UWA における歪観測結果 (2024 年 11 月～2025 年 4 月)

Fig. 28 Observed strains at the UWA observation site from November 2024 to April 2025.



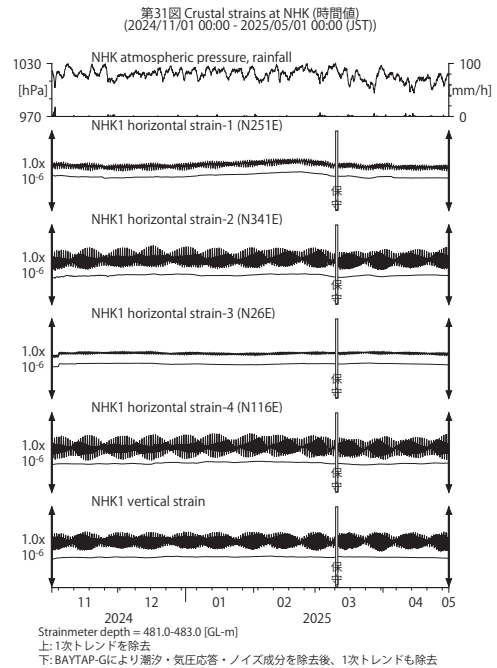
第 29 図 UWA における傾斜・地下水位観測結果 (2024 年 11 月～2025 年 4 月)

Fig. 29 Observed tilts and groundwater levels at the UWA observation site from November 2024 to April 2025.



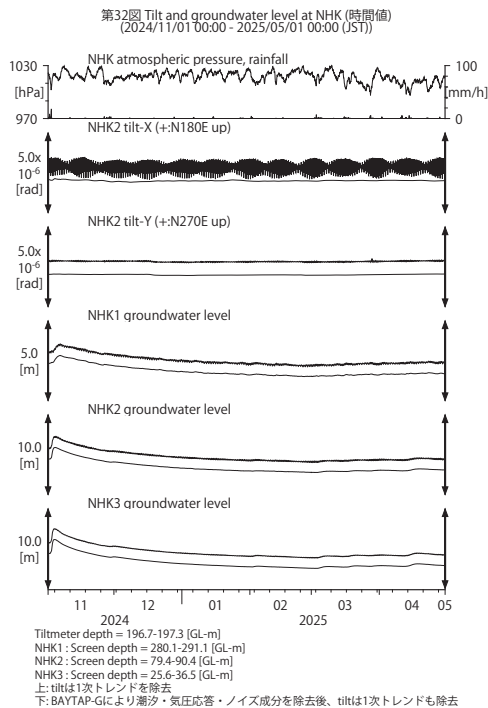
第 30 図 MAT における傾斜・地下水位観測結果 (2024 年 11 月～2025 年 4 月)

Fig. 30 Observed tilts and groundwater levels at the MAT observation site from November 2024 to April 2025.



第 31 図 NHK における歪観測結果 (2024 年 11 月～2025 年 4 月)

Fig. 31 Observed strains at the NHK observation site from November 2024 to April 2025.



第 32 図 NHK における傾斜・地下水位観測結果 (2024 年 11 月～2025 年 4 月)

Fig. 32 Observed tilts and groundwater levels at the NHK observation site from November 2024 to April 2025.